

Стратифицированные слои смазочного материала с различными физико-механическими свойствами

М.А. Мукутадзе

Ростовский государственный университет путей сообщения

Аннотация: В работе на основе уравнений движения вязкой и вязкопластичной жидкой среды с использованием приближения типа «тонкого слоя» для безразмерных переменных с учетом зависимости вязкости и предельного напряжения сдвига от давления, приводится автоматическое решение с использованием функций тока стратифицированного течения смазочного материала в подшипниках скольжения с различными физико-механическими свойствами. Предложенные здесь расчетные модели в отличие от существующих двухслойных стратификаций смазочного материала, но и учитывает разную физическую природу этих слоев, вязкую и вязкопластичную и их разное течение. Получен численный анализ зависимостей параметров пластичности и несущей способности подшипника с двойным смазочным слоем.

Ключевые слова: двухслойная смазка, поддерживающая сила, адаптированный профиль, стратифицированное течение, зависимость вязкости от давления, вязкопластичная смазка.

Известно что, при наличии в смазочной жидкости частиц присадок или продуктов износа, а также за счет пристенной ориентации ее молекул вблизи твердой опорной поверхности подшипника происходит расслоение смазки на слои с различной вязкостью. Слоистое течение вязкой несжимаемой жидкости в зазоре упорного и радиального подшипников рассматривалось в работах [1-6]. Существенный недостаток предлагаемой здесь методики заключается в том, что в расчетной модели не учитывается зависимость вязкости от давления. При больших значениях давления в смазочном слое вязкость смазки существенно возрастает и возникает необходимость учета зависимости вязкости от давления [7-15].

В этой задаче рассматривается раздельное двухслойное течение вязкого и вязкопластичного жидкого смазочного материала между валом и подшипниковой втулкой. Вал, радиусом r_0 , вращается с постоянной угловой скоростью Ω , а подшипниковая втулка, радиусом r_2 , неподвижна. Граница раздела смазочных слоев является окружностью с радиусом

$r_0 + \delta\alpha$, $\alpha \in [0,1]$, эксцентричной относительно вала. Зависимости вязкости смазочных слоев и предельные напряжения сдвига выражаются формулами

$$\mu'_i = \mu_{0i} e^{\tilde{\alpha} p'}, \quad \tau' = \tau_0 \tau, \quad (i=1,2). \quad (1)$$

Здесь μ_{0i} и τ_0 – соответственно характерные вязкости и характерное предельное напряжение сдвига вязкопластичной смазки.

В полярной системе координат, полюс которой расположен в центре вала, уравнение контуров вала, границы раздела слоев и контура подшипника запишутся в виде (см. рис. 1)

$$r' = r_0, \quad r' = r_0 + \delta\alpha + \alpha e \cos\theta, \quad r' = r_2 + e \cos\theta, \quad (2)$$

где e – эксцентриситет; $\delta = r_2 - r_0$.

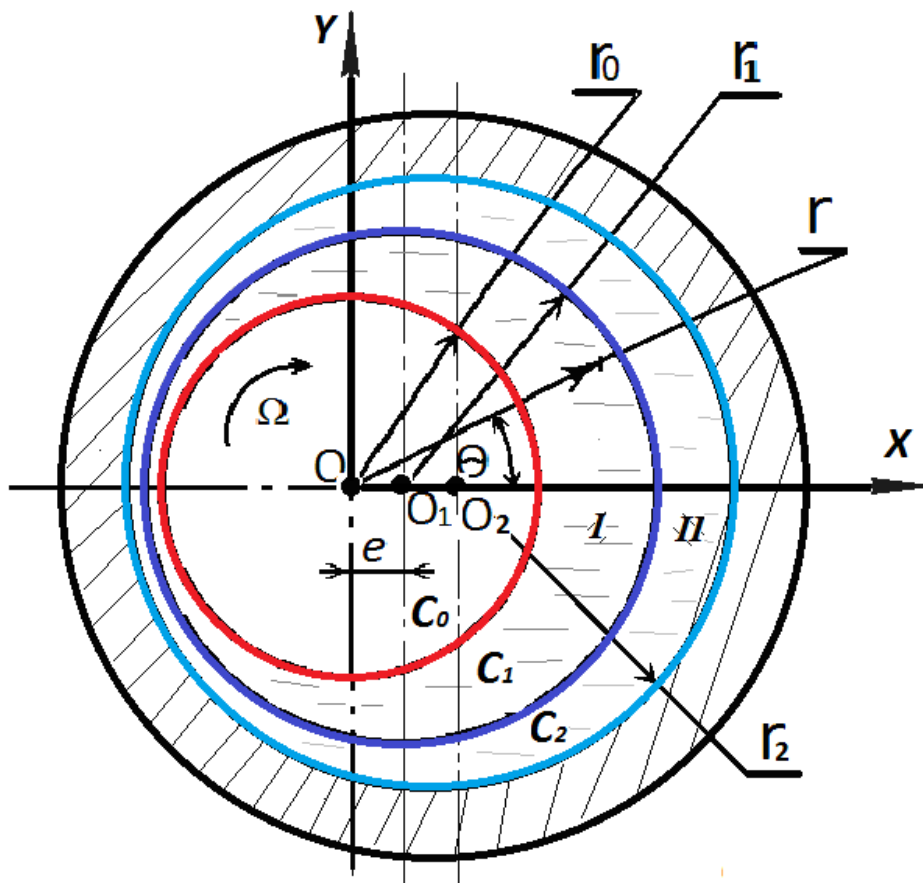


Рис. 1. Схема радиального подшипника с двухслойной стратификацией жидкого смазочного материала

Зависимость вязкости от давления выражается формулой

Исходные уравнения и граничные условия

Движение смазочных сред в стратифицированных слоях смазочного материала описывается уравнениями движения вязкой и вязкопластичной жидкой среды с использованием приближения типа «тонкого слоя» для безразмерных переменных. Кроме того, учитывается зависимость вязкости и предельного напряжения сдвига от давления:

$$\frac{\partial^2 v_1}{\partial r^2} = \frac{\Lambda_1}{e^{\tilde{\alpha} p}} \frac{dP_1}{d\theta}, \quad \frac{\partial u_1}{\partial r} + \frac{\partial v_1}{\partial \theta} = 0, \quad \frac{\partial^2 v_2}{\partial r^2} = \frac{\Lambda_2}{e^{-\tilde{\alpha} p}} \frac{dp}{d\theta} + A, \quad \frac{\partial u_2}{\partial r} + \frac{\partial v_2}{\partial \theta} = 0. \quad (3)$$

Здесь размерные величины r' , v'_i , u'_i , p' , μ'_i , τ' выражаются через безразмерные r , v_i , u_i , p , μ_i , τ с помощью следующих соотношений

$$r' = r_0 + \delta r, \quad u'_i = \Omega \delta u_i, \quad v'_i = \Omega r_0 v_i, \quad p' = p_g p, \quad \mu'_i = \mu_{0i} \mu_i, \quad \tau' = \tau_0 \tau, \quad (4)$$

где u'_i , v'_i – компоненты вектора скорости смазочной среды; p' – гидродинамическое давление; μ_{0i} – характерные вязкости смазочных сред; τ' – предельное напряжение сдвига;

$$\Lambda_i = \frac{p_g \delta^2}{r_0^2 \mu_{0i} \Omega}, \quad A = \frac{2\tau_0 \delta}{\mu_2 \Omega r_0}, \quad \tilde{\alpha} = \tilde{\alpha}^* p_g \text{ – экспериментальная постоянная.}$$

Решение системы дифференциальных уравнений (3) ищем для соответствующих граничных условий:

$$\begin{aligned} u_1 = 0, \quad v_1 = 1 \text{ при } r = 0, \quad p(0) = p(2\pi) = 1; \\ u_1 = u_2; \quad v_1 = v_2, \quad \frac{\partial v_1}{\partial r} = \frac{\mu_{02}}{\mu_{01}} \frac{\partial v_2}{\partial r}, \quad \frac{u_i}{v_i} = \alpha h'(\theta) \text{ при } r = \alpha h; \\ u_2 = 0, \quad v_2 = 0 \text{ при } r = h(\theta), \quad h(\theta) = 1 + \eta \cos \theta, \quad \alpha \in [0, 1]. \end{aligned} \quad (5)$$

Точное автомодельное решение

Формирование точного автомодельного решения системы уравнений (3), удовлетворяющего граничным условиям (5), проводим с использованием функции тока, полагая, что поле скоростей и давлений в смазочных слоях является потенциальным:

$$\begin{aligned} u_1 = -\frac{\partial \Psi_1}{\partial \theta} + U_1(r, \theta), \quad v_1 = -\frac{\partial \Psi_1}{\partial r} + V_1(r, \theta), \quad u_2 = -\frac{\partial \Psi_2}{\partial \theta} + U_2(r, \theta), \quad v_2 = -\frac{\partial \Psi_2}{\partial r} + V_2(r, \theta), \\ \Psi_1 = \tilde{\Psi}_1(\xi), \quad \Psi_2 = \tilde{\Psi}_2(\xi), \quad U_1 = \tilde{u}(\xi) \eta \sin \theta, \quad V_1 = \tilde{v}(\xi), \quad V_2 = \tilde{v}(\xi), \quad U_2 = \tilde{u}(\xi) \eta \sin \theta \end{aligned}$$

$$\frac{\Lambda_1}{e^{\alpha p}} \frac{dp}{d\theta} = \frac{\tilde{c}_1}{h^2(\theta)} + \frac{\tilde{c}_2}{h^3(\theta)}, \quad \frac{\Lambda_2}{e^{\alpha p}} \frac{dp}{d\theta} - A = \frac{\tilde{\tilde{c}}_1}{h^2(\theta)} + \frac{\tilde{\tilde{c}}_2}{h^3(\theta)}. \quad (6)$$

Подставляя (6) в (3) и (5), будем иметь

$$\tilde{\psi}''' = \tilde{c}_2, \quad \tilde{\tilde{\psi}}''' = \tilde{\tilde{c}}_2, \quad \tilde{u}' + \xi \tilde{v}' = 0, \quad \tilde{v}'' = \tilde{c}_1, \quad \tilde{\tilde{v}}'' = \tilde{\tilde{c}}_1, \quad \tilde{\tilde{u}}' + \xi \tilde{\tilde{v}}' = 0, \quad (7)$$

$$\tilde{u}(0) = 0, \quad \tilde{v}(0) = 1, \quad \tilde{\psi}'(0) = 0, \quad \tilde{u}(1) = 0, \quad \tilde{v}(1) = 0, \quad \tilde{\psi}'(1) = 0,$$

$$\tilde{P}(0) = \tilde{P}(2\pi) = \tilde{P}_g, \quad \tilde{\tilde{P}}(0) = \tilde{\tilde{P}}(2\pi) = \tilde{\tilde{P}}_g, \quad \int_0^\alpha \tilde{v} d\xi + \int_\alpha^1 \tilde{\tilde{v}} d\xi = 0. \quad (8)$$

Граничные условия (8) соответствуют следующим физическим условиям: прилипание смазки к металлической поверхности подшипника; периодичность гидродинамического давления, возникающего в каждом смазочном слое, и несжимаемость смазочных сред.

Граничные условия на границе раздела смазочных сред принимаем как равенство скоростей, касательных и нормальных напряжений:

$$\tilde{\psi}'(\alpha) = \tilde{\tilde{v}}(\alpha) = \tilde{v}(\alpha), \quad \tilde{\psi}''(\alpha) = \frac{\mu_2}{\mu_1} \tilde{\tilde{\psi}}''(\alpha) + \frac{\tau_0 \delta}{\mu_1 \Omega r_0}, \quad \tilde{v}'(\alpha) = \frac{\mu_2}{\mu_1} \tilde{\tilde{v}}'(\alpha). \quad (9)$$

Следовательно, к граничным условиям (8) добавляются и условия (9).

Интегрируя систему (7), получим:

$$\begin{aligned} \tilde{\psi}'(\xi) &= \tilde{c}_2 \frac{\xi^2}{2} + c_2 \xi + c_3, & \tilde{v} &= \tilde{c}_1 \frac{\xi^2}{2} + c_6 \xi + c_7, \\ \tilde{\tilde{\psi}}'(\xi) &= \tilde{\tilde{c}}_2 \frac{\xi^2}{2} + c_4 \xi + c_5, & \tilde{\tilde{v}} &= \tilde{\tilde{c}}_1 \frac{\xi^2}{2} + c_8 \xi + c_9, \end{aligned} \quad (10)$$

$$\tilde{u} = -\tilde{c}_1 \frac{\xi^3}{3} - c_6 \frac{\xi^2}{2} + c_{10}, \quad \tilde{\tilde{u}} = -\tilde{\tilde{c}}_1 \frac{\xi^3}{3} - c_8 \frac{\xi^2}{2} + c_{11}, \quad I_k = \int_0^\theta \frac{d\theta}{(1 + \eta \cos \theta)^k},$$

$$\Lambda_1 e^{\tilde{\alpha} p} = \Lambda_1 e^{\tilde{\alpha}} - \tilde{\alpha} [J_2(\theta) \tilde{c}_1 + J_3(\theta) \tilde{c}_2], \quad \Lambda_2 e^{\tilde{\alpha} p} = \Lambda_2 e^{\tilde{\alpha}} - \tilde{\alpha} [J_2(\theta) \tilde{\tilde{c}}_1 + J_3(\theta) \tilde{\tilde{c}}_2].$$

Используя граничные условия (8) и (9), получим следующую алгебраическую систему уравнений для определения постоянных $c_i (i = 2, 3, \dots, 11)$, $\tilde{c}_1, \tilde{c}_2, \tilde{\tilde{c}}_1, \tilde{\tilde{c}}_2$

$$c_3 = 0; \quad c_7 = 1; \quad c_{10} = 0; \quad \frac{\tilde{c}_2}{2} + c_4 + c_5 = 0, \quad \frac{\tilde{\tilde{c}}_1}{2} + c_8 + c_9 = 0;$$

$$\begin{aligned}
 -\frac{\tilde{c}_1}{3} - \frac{c_8}{2} + c_{11} = 0; \quad \frac{\tilde{c}_1 \alpha^3}{6} + \frac{c_6 \alpha^2}{2} + c_7 \alpha - \frac{\tilde{c}_1 \alpha^3}{6} - \frac{c_8 \alpha^2}{2} - c_9 \alpha + \frac{\tilde{c}_1}{6} + \frac{c_8}{2} + c_9 = 0; \\
 \tilde{c}_1 + \tilde{c}_2 = A; \quad \tilde{c}_1 = -\tilde{c}_2; \quad \tilde{c}_2 = \frac{\mu_2}{\mu_1} (2\tilde{c}_1 + 3\tilde{c}_2); \quad \frac{\tilde{c}_2 \alpha^2}{2} + c_2 \alpha + c_3 = \frac{\tilde{c}_2 \alpha^2}{2} + c_4 \alpha + c_5; \\
 \frac{\tilde{c}_1 \alpha^2}{2} + c_6 \alpha + c_7 = \frac{\tilde{c}_1 \alpha^2}{2} + c_8 \alpha + c_9; \quad \tilde{c}_2 \alpha + c_2 = \frac{\mu_2}{\mu_1} [\tilde{c}_2 \alpha + c_4] - \frac{\tau_0 \delta}{\mu_1 \omega r_0}; \\
 \tilde{c}_1 \alpha + c_6 = \frac{\mu_2}{\mu_1} [\tilde{c}_1 \alpha + c_8] - \frac{\tau_0 \delta}{\mu_1 \omega r_0}.
 \end{aligned} \tag{11}$$

Представление системы в матричной форме позволяет упростить алгоритм нахождения постоянных $\tilde{c}_1, c_4, c_5, c_8, c_9, c_2, c_6, \tilde{c}_2, \tilde{c}_2, \tilde{c}_1$

$$M \cdot \vec{x} = \vec{b}, \tag{12}$$

где $\vec{x} = [\tilde{c}_1, c_4, c_5, c_8, c_9, c_2, c_6, \tilde{c}_2, \tilde{c}_2, \tilde{c}_1]$,

$$M = \begin{bmatrix}
 0 & 1 & 2 & 2 & 0 & 0 & 0 & 0 & 0 \\
 1 & 0 & 0 & 0 & 2 & 2 & 0 & 0 & 0 \\
 2 & 0 & 0 & 0 & 3 & 0 & -6 & 0 & 0 \\
 \frac{1}{6} - \frac{1}{6} \alpha^3 - \frac{1}{3} k \alpha^3 & -\frac{1}{2} k \alpha^3 & 0 & 0 & \frac{1}{2} - \frac{1}{2} \alpha^2 & 1 - \alpha & 0 & 0 & \frac{1}{2} \alpha^2 \\
 1 & 1 & 0 & 0 & 0 & 0 & 0 & 0 & 0 \\
 k \alpha^2 & \frac{1}{2} \alpha^2 (3k - 1) & -\alpha & -1 & 0 & 0 & 0 & \alpha & 0 \\
 \frac{1}{2} \alpha^2 (2k + 1) & \frac{3}{2} k \alpha^2 & 0 & 0 & \alpha & 1 & 0 & 0 & -\alpha \\
 2k \alpha & 2k \alpha & -k & 0 & 0 & 0 & 0 & 1 & 0 \\
 3k \alpha & 3k \alpha & 0 & 0 & k & 0 & 0 & 0 & -1
 \end{bmatrix},$$

$$\vec{b} = \left[0, 0, 0, -\alpha, -A, 0, 1, -\frac{1}{2} k A, 0 \right].$$

После использования метода обратной матрицы, получим следующие значения для $\tilde{c}_1, c_4, c_5, c_8, c_9, c_2, c_6, \tilde{c}_2, \tilde{c}_2, \tilde{c}_1$:

$$\tilde{c}_1 = -3 \frac{\alpha^4 k^2 A - \alpha^4 k A - 2 \alpha^3 k A + 3 \alpha^2 k A - 2 \alpha^2 k + 2 \alpha^2 - 2}{-4 \alpha + 6 \alpha^2 - 4 \alpha^3 k - 6 \alpha^2 k - 4 \alpha^3 + \alpha^4 + 1 + 4 \alpha k + \alpha^4 k^2 - 2 \alpha^4 k},$$

$$\begin{aligned}c_4 &= -\frac{1}{2} \left(A(4k^3\alpha^6 - k^3\alpha^5 - 7k^2\alpha^6 + k^2\alpha^4) - 6k^2\alpha^4 + kA(10k\alpha^3 - 4k\alpha^2 + 2\alpha^6 + 5\alpha^5 - 6\alpha^4) + \right. \\ &+ k(12\alpha^4 - 16\alpha^3A + 20\alpha^2A - 12\alpha^2 - 5\alpha A) + A(\alpha^6 - \alpha^5 + 5\alpha^4 - 5\alpha^2 + 4\alpha - 1) - 6\alpha^4 + 12\alpha^2 - 6) / \\ & / \left((-4\alpha + 6\alpha^2 + 4\alpha^3k - 6\alpha^2k - 4\alpha^3 + \alpha^4 + 1 + 4\alpha k + \alpha^4k^2 - 2\alpha^4k)(\alpha k - \alpha + 1) \right), \\ c_5 &= \frac{1}{2} \alpha \left(A(15k\alpha^2 - 19k\alpha^3 - 3k\alpha + 5\alpha) - 6k\alpha + 12\alpha^2 - 12\alpha^2k - 6\alpha^3 - \right. \\ & - \alpha^4A - 6\alpha^3k^2 + 6\alpha^2k^2 + \alpha^5A - 6 + 6\alpha^2 - A + 6k + 6\alpha - A(10\alpha^2 + \\ & + 10\alpha^3 - 7\alpha^5k^2 + 3\alpha^4k^2 + 5\alpha^4k + 9\alpha^3k^2 + \alpha^5k + 4\alpha^5k^3 - \\ & - 3\alpha^4k^3 - 5\alpha^2k^2) \left. \right) / \left(5\alpha^4 + 3\alpha^5k - 3\alpha^5k^2 - 14\alpha^2k + 1 + 10\alpha^2 - 5\alpha - \right. \\ & - \alpha^5 - 6\alpha^3k^2 + 16\alpha^3k + 5\alpha k + 4\alpha^2k^2 - 10\alpha^4k + 5\alpha^4k^2 + \alpha^5k^3 - 10\alpha^3 \left. \right), \\ c_8 &= \frac{3\alpha^5k^2A - 3\alpha^5kA - 4\alpha^3k - 3\alpha^3kA + 6\alpha^2kA + 4\alpha^3 - 4}{-4\alpha + 6\alpha^2 - 4\alpha^3k - 6\alpha^2k - 4\alpha^3 + \alpha^4 + 1 + 4\alpha k + \alpha^4k^2 - 2\alpha^4k}, \\ c_9 &= -\frac{1}{2} \left(\frac{A(6\alpha^5k^2 - 3\alpha^4k^2 - 6\alpha^5k + 3\alpha^4k + 3\alpha^2k) - 8\alpha^3k + 6\alpha^2k + 8\alpha^3 - 6\alpha^2 - 2}{-4\alpha + 6\alpha^2 - 4\alpha^3k - 6\alpha^2k - 4\alpha^3 + \alpha^4 + 1 + 4\alpha k + \alpha^4k^2 - 2\alpha^4k} \right), \\ c_2 &= -\frac{1}{2} k \left(A(5k^2\alpha^6 - 23k^2\alpha^5 + 30k^2\alpha^4 - 12\alpha^3k^2 - 10\alpha^6k + 48\alpha^5k - \right. \\ & - 80\alpha^4k + 56\alpha^3k - 14\alpha^2k + 5\alpha^6 - 25\alpha^5 + 50\alpha^4 - 50\alpha^3 + 25\alpha^2 - 5\alpha) - \\ & - 6k^2\alpha^4 + 12\alpha^2 + 12\alpha^4k - 12\alpha^2k - 6\alpha^4 - 6) / \left((-4\alpha + 6\alpha^2 + 4\alpha^3k - \right. \\ & - 6\alpha^2k - 4\alpha^3 + \alpha^4 + 1 + 4\alpha k + \alpha^4k^2 - 2\alpha^4k)(\alpha k - \alpha + 1) \left. \right), \tag{13} \\ c_6 &= k \left(\frac{A(-6\alpha^2k + 15\alpha^3k - 3\alpha + 12\alpha^4 - 3\alpha^5 + 12\alpha^2 - 18\alpha^3 - 12\alpha^4k + 3\alpha^5k) - 4\alpha^3k + 4\alpha^3 - 4}{-4\alpha + 6\alpha^2 - 4\alpha^3k - 6\alpha^2k - 4\alpha^3 + \alpha^4 + 1 + 4\alpha k + \alpha^4k^2 - 2\alpha^4k} \right), \\ c_2 &\approx \frac{A(2\alpha^4k^2 + \alpha^4k - 10\alpha^3k + 15\alpha^2k - 4\alpha k - \alpha^4 + 4\alpha^3 - 6\alpha^2 + 4\alpha - 1) - 6\alpha^2k + 6\alpha^2 - 6}{-4\alpha + 6\alpha^2 - 4\alpha^3k - 6\alpha^2k - 4\alpha^3 + \alpha^4 + 1 + 4\alpha k + \alpha^4k^2 - 2\alpha^4k}, \\ \tilde{c}_2 &= k \left(-6 \left(\frac{A(2\alpha^4k^2 + \alpha^4k - 2\alpha^3k + 3\alpha^2k) - 2\alpha^2k - 2\alpha^2 - 2}{-4\alpha + 6\alpha^2 - 4\alpha^3k - 6\alpha^2k - 4\alpha^3 + \alpha^4 + 1 + 4\alpha k + \alpha^4k^2 - 2\alpha^4k} \right) + \right. \\ & \left. + 3 \left(\frac{A(2\alpha^4k^2 + \alpha^4k - 10\alpha^3k + 15\alpha^2k - 4\alpha k - \alpha^4 + 4\alpha^3 - 6\alpha^2 + 4\alpha - 1) - 6\alpha^2k + 6\alpha^2 - 6}{-4\alpha + 6\alpha^2 - 4\alpha^3k - 6\alpha^2k - 4\alpha^3 + \alpha^4 + 1 + 4\alpha k + \alpha^4k^2 - 2\alpha^4k} \right) \right).\end{aligned}$$

Определение основных рабочих характеристик подшипника

В принятом нами приближении для гидродинамического давления и R_y получим следующие выражения:

$$p = 1 + \frac{1}{\Lambda_1} [\tilde{c}_1 J_2(\theta) + \tilde{c}_2 J_3(\theta)] \left(1 + \frac{\tilde{\alpha}}{2} \right),$$
$$R'_y = -\frac{p_g r_0}{2} \frac{\tilde{c}_1}{\Lambda_1} \left(1 + \frac{\tilde{\alpha}}{2} \right), L_{тр} = r_0 \mu_{01} \int_0^{2\pi} \left(\frac{\tilde{\psi}''(0)}{h^2} + \frac{\tilde{v}'(0)}{h} \right) e^{-\tilde{\alpha} p} d\theta. \quad (14)$$

Численный анализ полученных аналитических выражений позволил представить их графическую интерпретацию на рис. 2.

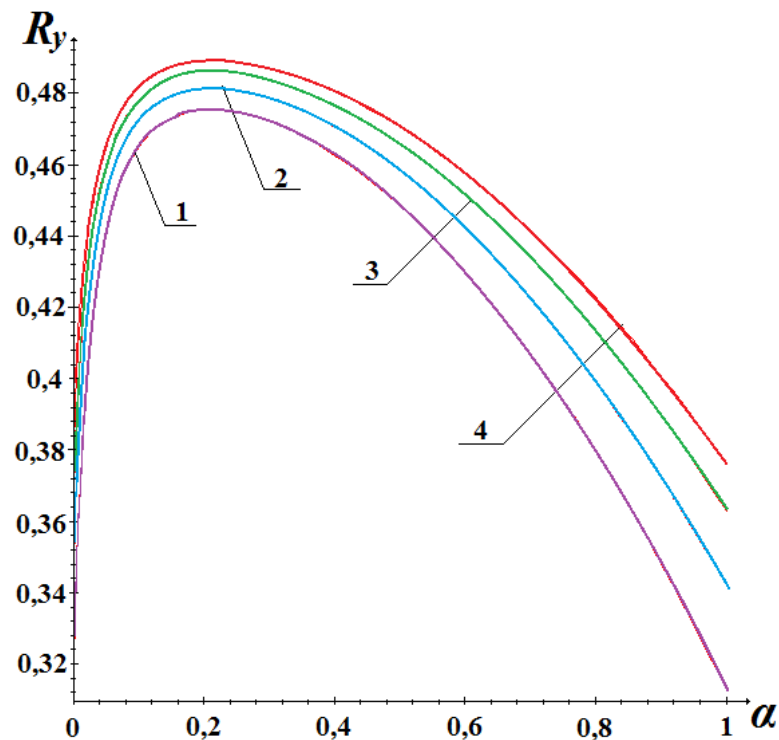


Рис. 2. Зависимость компоненты R'_y безразмерной несущей способности от параметра контура адаптированного профиля α :

$$1 - A = 0,1; \quad 2 - A = 0,3; \quad 3 - A = 0,5; \quad 4 - A = 0,9$$

Полученные результаты анализа расчетной модели подшипника для его базовых эксплуатационных характеристик позволяют сделать следующие выводы:

- аналогично задачам, рассмотренным ранее, при значении параметра контура адаптированного профиля равном $\alpha \approx 0,2$ наблюдается максимум несущей способности в диапазоне исследованных значений параметра пластичности A .

- при увеличении значения параметра пластичности A несущая способность подшипника с двойным смазочным слоем возрастает.

Литература

1. Ахвердиев, К.С. Гидродинамический расчёт подшипников скольжения с использованием моделей слоистого течения вязкой и вязкопластичной смазки // Трение и износ, 1998. Т. 16, № 6. С. 698–707.

2. Ахвердиев, К.С. Математическая модель стратифицированного течения смазки в зазоре радиального мегаллополимерного подшипника скольжения // Проблемы машиностроения и надежности машин. РАН. М.: Наука, 1999, № 3. С. 93–101.

3. Семенко, И.С. Гидродинамический расчет упорного подшипника на вязкоупругой смазке при наличии пористого слоя на одной из сопряженных поверхностей // Тр. ВНИК «Транспорт-2009». Ростов н/Д: РГУПС, 2009. Ч. 2. – С. 271–272.

4. Прокопьев, В.Н. Динамика ротора на подшипниках с двумя и тремя смазочными слоями // Труды международного научного симпозиума «Гидродинамическая теория смазки – 120 лет». Орел. 2006. С. 436–446.

5. Gear, Charles William, and C. William Gear. *Numerical initial value problems in ordinary differential equations*. Vol. 59. Englewood Cliffs, NJ: Prentice-Hall, 1971. 253 p.

6. Reynolds, O. (1886). On the Theory of Lubrication and Its Application to Mr. Beauchamp Tower's Experiments, Including an Experimental Determination of the Viscosity of Olive Oil. *Proceedings of the Royal Society of London*, 40(242-245), Pp.191-203.

7. Александрова, Е.Е. Стратифицированное течение трехслойной смазки в зазоре упорного подшипника, обладающего повышенной несущей способностью и демпфирующими свойствами // Труды РГУПС, 2011. № 1 (15). С. 14–21.

8. Ахвердиев, К.С. Разработка расчетной модели с учетом зависимости вязкости и проницаемости пористого слоя от давления трехслойной смазки упорного подшипника, обладающего повышенной несущей способностью и демпфирующими свойствами // Трение и смазка в машинах и механизмах. 2014, №3. С.10-16.

9. Эркенов, А.Ч. Расчетная модель двухслойного пористого подшипника конечной длины с учетом анизотропии пористых слоев и нелинейных факторов // Вестник ДГТУ, 2014. Т.14 , № 1(76). С. 191-199.

10. Ахвердиев, К.С. Расчетная модель с учетом зависимости вязкости от давления двухслойной гидродинамической смазки радиального подшипника с круговой опорной поверхностью // Изв. выс. учеб. зав. Сев. - Кав. регион. 2014, № 1. С. 71-74.

11. Мукутадзе, М.А. Расчетная модель с учетом зависимости вязкости и проницаемости пористого слоя от давления трехслойной гидродинамической смазки радиального подшипника, обладающего повышенной несущей способностью и демпфирующими свойствами // Инженерный вестник Дона, 2014, № 2 URL: ivdon.ru/magazine/archive/n2y2014/2324.

12. Мукутадзе, М.А. Расчетная модель гидродинамической смазки неоднородного пористого подшипника конечной длины, работающего в устойчивом нестационарном режиме трения при наличии принудительной подачи смазки //Инженерный вестник Дона, 2013, №3 URL: ivdon.ru/magazine/archive/n3y2013/1765.

13. Ахвердиев, К.С. Разработка расчетной модели с учетом зависимости вязкости от давления двухслойной гидродинамической смазки упорного подшипника, обладающего повышенной несущей способностью и демпфирующими свойствами // Тр. VII Всерос. конф. по механике деформируемого твердого тела. Ростов н/Д: ЮФУ. НИИМиПМ им. И.И. Воровича, ЮНЦ РАН, 2013. Т. 1. С. 32–35.

14. Ахвердиев, К.С. Расчетная модель с учетом зависимости вязкости и проницаемости от давления двухслойной смазки радиального подшипника, обладающего повышенной несущей способностью // III Международная научно-практическая конференции Наука в современном информационном обществе: Noth Charleston, USA. 2014 г. С. 92 – 98.

15. Ахвердиев, К.С. Математическая модель двухслойной гидродинамической смазки упорного подшипника // Математическое моделирование и биомеханика в современном университете: Тез. докл. VIII Всерос. шк. - сем. 27–31 мая 2013, пос. Дивноморск. Ростов н/Д, 2013. С. 13.

References

- 1 Ahverdiev, K.S. *Trenie i iznos*. 1998. V. 16, № 6. pp. 698–707.
- 2 Aversive, K.S. *Problemy mashinostroeniya i nadezhnosti mashin*. RAN. M.: Nauka, 1999. № 3. pp. 93–101.
3. Semenko, I.S. *Tr. VNPК «Transport-2009»*. Rostov n/D : RGUPS, 2009. P. 2. pp. 271–272.
4. Prokop'ev, V.N. *Trudy mezhdunarodnogo nauchnogo simpoziuma «Gidrodinamicheskaja teorija smazki – 120 let»*. Orel. 2006. pp. 436–446.
5. Gear, Charles William, and C. William Gear. *Numerical initial value problems in ordinary differential equations*. Vol. 59. Englewood Cliffs, NJ: Prentice-Hall, 1971. 253 p.
6. Reynolds, O. (1886). *On the Theory of Lubrication and Its Application to Mr. Beauchamp Tower's Experiments, Including an Experimental Determination*



of the Viscosity of Olive Oil. *Proceedings of the Royal Society of London*, 40 (242-245), pp.191-203.

7. Aleksandrova, E.E. Trudy RGUPS. 2011. № 1 (15). pp. 14–21.

8 Ahverdiev, K.S. Trenie i smazka v mashinah i mehanizmah. 2014. №3. pp.10-16.

9 Jerkenov, A.Ch. Vestnik DGTU. 2014. V.14. № 1(76). pp. 191-199.

10 Ahverdiev, K.S. Izv. vys. ucheb. zav. Sev.-Kav. region. 2014. № 1. pp. 71-74.

11 Mukutadze, M.A. Inzhenernyj vestnik Dona (Rus), 2014, №2 URL: ivdon.ru/magazine/archive/n2y2014/2324.

12 Mukutadze, M.A. Inzhenernyj vestnik Dona (Rus), 2013, № 3 URL: ivdon.ru/magazine/archive/n3y2013/1765.

13 Ahverdiev, K.S. Tr. VII Vseros. konf. po mehanike deformiruемого твердого tela – Rostov n/D : JuFU. NIIMiPM im. I.I. Vorovicha, JuNC RAN, 2013. V. 1. pp. 32–35.

14 Ahverdiev, K.S. III Mezhdunarodnaja nauchno-prakticheskaja konferencii Nauka v sovremennom informacionnom obshhestve: Noth Charleston, USA. 2014. pp. 92 – 98.

15 Ahverdiev, K.S. Matematicheskoe modelirovanie i biomehanika v sovremennom universitete : Tez. dokl. VIII Vseros. shk.-sem. 27–31 maja 2013, pos. Divnomorsk. Rostov n/D, 2013. pp. 13.